

Von der Zeitdilatation zur Massenvariation: Eine vollständige Neuformulierung der Lagrange-Dichte

Johann Pascher

30. März 2025

Zusammenfassung

Diese Arbeit präsentiert eine detaillierte Herleitung und mathematische Formulierung der Lagrange-Dichte im Rahmen der Zeit-Masse-Dualitätstheorie. Ausgehend von den Grundprinzipien dieser Theorie - der Dualität zwischen einem Standardbild mit Zeitdilatation und konstanter Ruhemasse und einem alternativen Bild mit absoluter Zeit und variabler Masse - wird eine konsistente Feldtheorie entwickelt. Die zentrale Innovation ist die Einführung der intrinsischen Zeit $T = \hbar/mc^2$ als fundamentale Größe, die direkt mit der Masse verbunden ist und die zeitliche Entwicklung aller Quantensysteme bestimmt. Die resultierende Lagrange-Dichte umfasst modifizierte Terme für das Higgs-Feld, Fermionen, Eichbosonen und deren Wechselwirkungen, wobei das Higgs-Feld eine besondere Rolle als Vermittler zwischen den beiden komplementären Beschreibungen spielt. Die Arbeit zeigt, dass diese Neuformulierung nicht nur mathematisch konsistent ist, sondern auch zu experimentell überprüfbar Vorhersagen führt, die vom Standardmodell der Teilchenphysik abweichen.

Inhaltsverzeichnis

1	Einleitung	3
1.1	Grundprinzipien der Zeit-Masse-Dualität	3
1.2	Ziel und Struktur dieser Arbeit	3
2	Mathematische Herleitung der intrinsischen Zeit	4
2.1	Grundkonzepte und Definitionen	4
2.2	Herleitung der intrinsischen Zeit	5
2.3	Physikalische Interpretation der intrinsischen Zeit	5
2.4	Verbindung zur Feinstrukturkonstante	6
3	Transformation der Feldgleichungen	7
3.1	Modifizierte Zeitableitung	7
3.2	Transformation der Schrödinger-Gleichung	8

4	Konsistente Higgs-Lagrange-Dichte	9
5	Reformulierte Lagrange-Dichte für Fermionen	11
6	Modifizierte Lagrange-Dichte für Eichbosonen	13
7	Vollständige Gesamt-Lagrange-Dichte	14
7.1	Transformationsschema zwischen den Bildern	15
7.2	Feldgleichungen	15
7.3	Herleitung des modifizierten Gravitationspotentials	16
8	Emergente Gravitation aus dem intrinsischen Zeitfeld	17
8.1	Modifizierte Feldgleichungen mit Gravitationsinhalt	19
8.2	Implikationen für die Quantengravitation	19
9	Experimentelle Konsequenzen und Vorhersagen	20
9.1	Modifizierte Energie-Impuls-Relation	20
9.2	Wellenlängenabhängige Rotverschiebung	21
9.3	Modifizierte Higgs-Kopplung	22
10	Kosmologische Implikationen	23
10.1	Alternative Erklärung der kosmischen Rotverschiebung	23
10.2	Modifiziertes Gravitationspotential statt Dunkler Materie	24
10.3	Neue Interpretation des kosmischen Mikrowellenhintergrunds	25
10.4	Experimentelle Tests zur Unterscheidung der Modelle	25
10.5	Zukünftige Forschungsfelder	26
10.6	Abschließende Betrachtungen	27
A	Feldtransformationen zwischen den Bildern	27
B	Ward-Takahashi-Identitäten im T0-Modell	27
C	Berechnung der modifizierten Feynman-Regeln	28

1 Einleitung

Die Zeit-Masse-Dualitätstheorie stellt einen innovativen Ansatz dar, der zentrale Konzepte der modernen Physik in einem neuen Licht betrachtet. Im Gegensatz zur konventionellen Sichtweise, bei der die Zeit als relativ (Zeitdilatation) und die Ruhemasse als konstant angesehen wird, postuliert diese Theorie ein alternatives, mathematisch äquivalentes Bild, bei dem die Zeit absolut bleibt und stattdessen die Masse variiert. Diese Dualität erfordert eine grundlegende Neuformulierung etablierter physikalischer Theorien, insbesondere der Lagrange-Dichte, die die Dynamik aller fundamentalen Felder und ihrer Wechselwirkungen beschreibt.

1.1 Grundprinzipien der Zeit-Masse-Dualität

Die Zeit-Masse-Dualitätstheorie basiert auf folgenden fundamentalen Prinzipien:

- **Intrinsische Zeit:** Für jedes Teilchen mit Masse m wird eine charakteristische intrinsische Zeit definiert als $T = \frac{\hbar}{mc^2}$. Diese Zeit skaliert invers mit der Masse und bestimmt die zeitliche Entwicklung des Quantensystems.
- **Feldtheoretische Erweiterung:** Die intrinsische Zeit wird als dynamisches Feld $T(x)$ behandelt, das von Raum und Zeit abhängen kann und an das Higgs-Feld und damit an die Massenerzeugung gekoppelt ist.
- **Modifizierte Zeitableitung:** Die konventionelle Zeitableitung $\frac{\partial}{\partial t}$ wird durch eine modifizierte Zeitableitung ersetzt, die die intrinsische Zeitskala des Systems berücksichtigt und raum- und zeitabhängig sein kann.
- **Dualität der Beschreibungen:** Es existieren zwei äquivalente Beschreibungen physikalischer Phänomene:
 1. Das **Standardbild** mit Zeitdilatation ($t' = \gamma t$) und konstanter Ruhemasse ($m_0 = \text{const.}$)
 2. Das **alternative Bild** mit absoluter Zeit ($T_0 = \text{const.}$) und variabler Masse ($m = \gamma m_0$)
- **Higgs-Vermittlung:** Das Higgs-Feld spielt eine zentrale Rolle als Vermittler zwischen beiden Beschreibungen, indem es sowohl die Ruhemasse als auch die intrinsische Zeitskala definiert.

1.2 Ziel und Struktur dieser Arbeit

Das Hauptziel dieser Arbeit ist die Entwicklung einer vollständigen und konsistenten mathematischen Formulierung der Lagrange-Dichte im Rahmen der Zeit-Masse-Dualitätstheorie. Diese Formulierung muss alle fundamentalen Wechselwirkungen und Felder des Standardmodells umfassen und gleichzeitig die neuartigen Aspekte der Dualitätstheorie korrekt widerspiegeln.

Die Arbeit ist wie folgt strukturiert:

- Abschnitt 2 leitet die intrinsische Zeit mathematisch her und diskutiert ihre physikalische Bedeutung.
- Abschnitt 3 behandelt die Transformation der fundamentalen Feldgleichungen gemäß dem Prinzip der Zeit-Masse-Dualität.
- Abschnitt 4 entwickelt die modifizierte Lagrange-Dichte für skalare Felder, insbesondere das Higgs-Feld.
- Abschnitt 5 reformuliert die Lagrange-Dichte für Fermionen und ihre Kopplung an das Higgs-Feld.
- Abschnitt 6 behandelt die modifizierte Lagrange-Dichte für Eichbosonen.
- Abschnitt 7 stellt die vollständige Gesamt-Lagrange-Dichte zusammen und überprüft ihre Konsistenz.
- Abschnitt 8 untersucht die experimentellen Konsequenzen und Vorhersagen dieser Theorie.
- Abschnitt 9 fasst die Ergebnisse zusammen und gibt einen Ausblick auf weitere Forschung.

2 Mathematische Herleitung der intrinsischen Zeit

2.1 Grundkonzepte und Definitionen

Um die intrinsische Zeit als fundamentale Größe zu etablieren, beginnen wir mit den grundlegenden Beziehungen aus der speziellen Relativitätstheorie und der Quantenmechanik.

Definition 2.1 (Energie-Masse-Äquivalenz). Die spezielle Relativitätstheorie postuliert die Äquivalenz von Masse und Energie gemäß der berühmten Formel

$$E = mc^2 \tag{1}$$

wobei E die Energie, m die Masse und c die Lichtgeschwindigkeit im Vakuum ist.

Definition 2.2 (Energie-Frequenz-Beziehung). Die Quantenmechanik verbindet die Energie eines quantenmechanischen Systems mit seiner Frequenz durch

$$E = h\nu = \frac{h}{T} \tag{2}$$

wobei h das Plancksche Wirkungsquantum, ν die Frequenz und T die Periode ist.

2.2 Herleitung der intrinsischen Zeit

Aus diesen beiden fundamentalen Beziehungen können wir die intrinsische Zeit eines Teilchens mit Masse m ableiten.

Theorem 2.3 (Intrinsische Zeit). *Für ein Teilchen mit Masse m ist die intrinsische Zeit T definiert als*

$$T = \frac{\hbar}{mc^2} \quad (3)$$

wobei $\hbar = h/2\pi$ die reduzierte Planck-Konstante ist.

Beweis. Wir setzen die Energie-Masse-Äquivalenz und die Energie-Frequenz-Beziehung gleich:

$$E = mc^2 \quad (4)$$

$$E = \frac{h}{T} \quad (5)$$

Durch Gleichsetzen erhalten wir:

$$mc^2 = \frac{h}{T} \quad (6)$$

Nach T aufgelöst ergibt sich:

$$T = \frac{h}{mc^2} = \frac{\hbar \cdot 2\pi}{mc^2} = \frac{\hbar}{mc^2} \cdot 2\pi \quad (7)$$

Für die fundamentale Periode des quantenmechanischen Systems verwenden wir $T = \frac{\hbar}{mc^2}$, was der reduzierten Compton-Wellenlänge des Teilchens geteilt durch die Lichtgeschwindigkeit entspricht. \square

2.3 Physikalische Interpretation der intrinsischen Zeit

Die intrinsische Zeit $T = \frac{\hbar}{mc^2}$ kann als fundamentale Zeitskala interpretiert werden, die mit einem Teilchen der Masse m verbunden ist. Sie repräsentiert die charakteristische Zeit, in der signifikante quantenmechanische Änderungen im Zustand des Teilchens auftreten können.

Bemerkung 2.4. Für ein Elektron mit $m_e \approx 9,1 \times 10^{-31}$ kg erhalten wir eine intrinsische Zeit von $T_e \approx 8,1 \times 10^{-21}$ s, was der Compton-Zeit des Elektrons entspricht.

Proposition 2.5 (Skalierung der intrinsischen Zeit). *Die intrinsischen Zeiten zweier Teilchen mit Massen m_1 und m_2 sind umgekehrt proportional zu ihren Massen:*

$$\frac{T_1}{T_2} = \frac{m_2}{m_1} \quad (8)$$

Beweis. Aus der Definition der intrinsischen Zeit folgt direkt:

$$\frac{T_1}{T_2} = \frac{\hbar/(m_1 c^2)}{\hbar/(m_2 c^2)} = \frac{m_2}{m_1} \quad (9)$$

\square

2.4 Verbindung zur Feinstrukturkonstante

Eine bemerkenswerte Verbindung besteht zwischen der intrinsischen Zeit und der Feinstrukturkonstante α , die die Stärke der elektromagnetischen Wechselwirkung beschreibt.

Theorem 2.6 (Intrinsische Zeit und Feinstrukturkonstante). *Die intrinsische Zeit kann in Bezug auf die Feinstrukturkonstante α ausgedrückt werden als:*

$$T = \frac{\hbar^2 \cdot 4\pi\epsilon_0 c}{mc^2 \cdot e^2} \cdot \alpha \quad (10)$$

wobei e die Elementarladung und ϵ_0 die elektrische Feldkonstante ist.

Beweis. Die Feinstrukturkonstante ist definiert als:

$$\alpha = \frac{e^2}{4\pi\epsilon_0 \hbar c} \approx \frac{1}{137,036} \quad (11)$$

Wir multiplizieren und dividieren die intrinsische Zeit durch geeignete Faktoren:

$$T = \frac{\hbar}{mc^2} \quad (12)$$

$$= \frac{\hbar}{mc^2} \cdot \frac{4\pi\epsilon_0 \hbar c}{e^2} \cdot \frac{e^2}{4\pi\epsilon_0 \hbar c} \quad (13)$$

$$= \frac{\hbar^2 \cdot 4\pi\epsilon_0 c}{mc^2 \cdot e^2} \cdot \alpha \quad (14)$$

□

Korollar 2.7 (Natürliche Einheiten). *In einem System natürlicher Einheiten, in dem $\hbar = c = 1$ gesetzt wird, vereinfacht sich die Beziehung zu:*

$$T = \frac{\alpha}{m} \cdot \frac{4\pi\epsilon_0}{e^2} \quad (15)$$

Wenn zusätzlich $\alpha = 1$ und $e^2/(4\pi\epsilon_0) = 1$ gesetzt wird, erhalten wir die einfache Beziehung:

$$T = \frac{1}{m} \quad (16)$$

Bemerkung 2.8 (Zur Feinstrukturkonstante in natürlichen Einheiten). Es ist wichtig zu betonen, dass der Wert $\alpha \approx 1/137$ der Feinstrukturkonstante nur im konventionellen SI-Einheitensystem gilt. In einem vollständigen System natürlicher Einheiten kann die Feinstrukturkonstante den Wert $\alpha = 1$ annehmen. Dies ist keine willkürliche Definition, sondern folgt konsequent, wenn zusätzlich zu $\hbar = c = 1$ die elektromagnetischen Basiseinheiten so neu definiert werden, dass $e^2/(4\pi\epsilon_0) = 1$ gilt.

In diesem umfassenden System natürlicher Einheiten verschwinden alle dimensional Konstanten, und die verbleibenden dimensionslosen Größen offenbaren die fundamentalen Verhältnisse in der Natur. Die Beziehung $T = 1/m$

in diesem Einheitensystem verdeutlicht die tiefe konzeptionelle Verbindung zwischen intrinsischer Zeit und Masse, die im Kern der Zeit-Masse-Dualitätstheorie liegt.

Es sollte betont werden, dass die Feinstrukturkonstante α in einem vollständigen System natürlicher Einheiten tatsächlich den Wert 1 annehmen kann. Dies ist keine hypothetische Annahme, sondern folgt als logische Konsequenz der konsistenten Neudefinition aller elektromagnetischen Basiseinheiten. Wie in meiner anderen Arbeit "Fundamentale Konstanten und ihre Herleitung aus natürlichen Einheiten" (Pascher, 2025) detailliert dargestellt, kann gezeigt werden, dass $\alpha = \frac{e^2}{4\pi\epsilon_0\hbar c}$ bei konsistenter Neudefinition der Einheiten im elektromagnetischen Sektor tatsächlich auf 1 normiert werden kann. In diesem Einheitensystem wird die Beziehung $T = 1/m$ nicht nur zu einer eleganten mathematischen Vereinfachung, sondern offenbart die fundamentale Äquivalenz zwischen Zeit- und Massenskalen als physikalische Realität.

Dieses Einheitensystem ermöglicht nicht nur eine elegantere mathematische Formulierung, sondern verdeutlicht auch, dass die scheinbar unterschiedlichen physikalischen Phänomene von Zeit, Masse und elektromagnetischer Wechselwirkung verschiedene Manifestationen eines gemeinsamen Prinzips sein könnten.

Diese elegante Beziehung zeigt, dass in einem vollständigen System natürlicher Einheiten die intrinsische Zeit eines Teilchens einfach der Kehrwert seiner Masse ist, was die fundamentale Verbindung zwischen Zeit und Masse unterstreicht.

Bemerkung 2.9. Für masselose Teilchen wie Photonen wird diese Definition erweitert zu:

$$T = \begin{cases} \frac{\hbar}{mc^2}, & m \neq 0 \\ \frac{\hbar}{E}, & m = 0 \end{cases} \quad (17)$$

Dies stellt sicher, dass auch für Photonen mit $E = \hbar\omega$ eine wohldefinierte intrinsische Zeit $T = \frac{1}{\omega}$ existiert, die mit der charakteristischen Zeitskala einer elektromagnetischen Welle konsistent ist.

3 Transformation der Feldgleichungen

3.1 Modifizierte Zeitableitung

Die zentrale Innovation der Zeit-Masse-Dualitätstheorie ist die Einführung einer modifizierten Zeitableitung, die die intrinsische Zeit T berücksichtigt.

Definition 3.1 (Modifizierte Zeitableitung). Die modifizierte Zeitableitung ist definiert als:

$$\partial_{t/T} = \frac{\partial}{\partial(t/T)} = T \frac{\partial}{\partial t} \quad (18)$$

In der feldtheoretischen Formulierung wird die intrinsische Zeit zu einem dynamischen Feld $T(x)$, das von Raum und Zeit abhängen kann. Die modifizierte kovariante Ableitung muss daher sowohl den Effekt des $T(x)$ -Feldes auf andere Felder als auch die Gradienten von $T(x)$ selbst berücksichtigen:

Definition 3.2 (Feldtheoretische modifizierte kovariante Ableitung). Für ein beliebiges Feld Ψ definieren wir die modifizierte kovariante Ableitung als:

$$T(x)D_\mu\Psi + \Psi\partial_\mu T(x) = T(x)D_\mu\Psi + \Psi\partial_\mu T(x) \quad (19)$$

wobei D_μ die gewöhnliche kovariante Ableitung entsprechend der Eichsymmetrie des Feldes Ψ ist.

Bemerkung 3.3. Diese Definition impliziert, dass die zeitliche Entwicklung eines Quantensystems nicht mehr durch eine universelle, externe Zeit bestimmt wird, sondern durch seine intrinsische Zeitskala, die direkt mit seiner Masse verbunden ist und räumlich variieren kann.

3.2 Transformation der Schrödinger-Gleichung

Theorem 3.4 (Modifizierte Schrödinger-Gleichung). *Die Schrödinger-Gleichung in der Zeit-Masse-Dualitätstheorie wird zu:*

$$i\hbar\frac{\partial}{\partial(t/T)}\Psi = \hat{H}\Psi \quad (20)$$

oder explizit mit dem intrinsischen Zeitfeld:

$$i\hbar T(x)\frac{\partial}{\partial t}\Psi + i\hbar\Psi\frac{\partial T(x)}{\partial t} = \hat{H}\Psi \quad (21)$$

Beweis. Wir ersetzen in der Standard-Schrödinger-Gleichung

$$i\hbar\frac{\partial}{\partial t}\Psi = \hat{H}\Psi \quad (22)$$

die Zeitableitung durch die modifizierte Zeitableitung:

$$i\hbar\frac{\partial}{\partial(t/T)}\Psi = \hat{H}\Psi \quad (23)$$

Mit der Definition der feldtheoretischen modifizierten Zeitableitung und unter Berücksichtigung der möglichen Zeitabhängigkeit von $T(x)$ erhalten wir:

$$i\hbar(T(x)\frac{\partial}{\partial t}\Psi + \Psi\frac{\partial T(x)}{\partial t}) = \hat{H}\Psi \quad (24)$$

□

Bemerkung 3.5 (Zum Hamilton-Operator in der modifizierten Schrödinger-Gleichung). Es ist bemerkenswert, dass in der modifizierten Schrödinger-Gleichung der Hamilton-Operator \hat{H} die gleiche Form wie im Standardmodell behält. Dies bedeutet jedoch nicht, dass seine physikalische Interpretation unverändert bleibt. Im alternativen Bild repräsentiert \hat{H} weiterhin die Energie des Systems, jedoch mit einer fundamentalen Neuinterpretation: Die modifizierte Gleichung zeigt, dass die Wirkung des Energieoperators intrinsisch von der Masse abhängt.

Bei Umstellung zu

$$i\hbar \frac{\partial}{\partial t} \Psi = \frac{1}{T(x)} \hat{H} \Psi - i\hbar \frac{\partial \ln T(x)}{\partial t} \Psi \quad (25)$$

wird deutlich, dass der effektive Hamilton-Operator

$$\hat{H}_{\text{eff}} = \frac{1}{T(x)} \hat{H} - i\hbar \frac{\partial \ln T(x)}{\partial t} \quad (26)$$

impliziert, dass die zeitliche Entwicklung mit zunehmender Masse schneller voranschreitet, was die fundamentale Beziehung zwischen Masse und intrinsischer Zeit widerspiegelt. Der zweite Term berücksichtigt die zeitliche Änderung des intrinsischen Zeitfeldes selbst und stellt eine wesentliche Korrektur dar, die in der ursprünglichen Formulierung fehlte.

Die Eigenwerte von \hat{H} selbst bleiben invariant, aber die Dynamik wird durch die intrinsische Zeit $T(x)$ und ihre Gradienten moduliert. Diese massenabhängige zeitliche Entwicklung ist ein zentraler Aspekt der Zeit-Masse-Dualität und kann experimentell durch Präzisionsmessungen der Quantenkohärenzzeiten von Teilchen mit unterschiedlichen Massen überprüft werden.

Korollar 3.6 (Massenabhängige zeitliche Entwicklung). *Durch Einsetzen der intrinsischen Zeit $T(x) = \frac{\hbar}{m[\Phi]c^2}$ erhalten wir:*

$$i \frac{\hbar^2}{m[\Phi]c^2} \frac{\partial}{\partial t} \Psi + i\hbar \Psi \frac{\partial}{\partial t} \left(\frac{\hbar}{m[\Phi]c^2} \right) = \hat{H} \Psi \quad (27)$$

wobei $m[\Phi]$ die vom Higgs-Feld abhängige Masse ist.

4 Konsistente Higgs-Lagrange-Dichte

Die Standard-Lagrange-Dichte für ein skalares Feld (wie das Higgs-Feld) ist:

$$\mathcal{L}_{\text{skalar}} = \frac{1}{2} (\partial_\mu \phi) (\partial^\mu \phi) - \frac{1}{2} m^2 \phi^2 - V(\phi) \quad (28)$$

In der Zeit-Masse-Dualität wird diese vollständig reformuliert, wobei konsequent berücksichtigt wird, dass nicht nur die Zeitableitung, sondern auch das Higgs-Feld selbst und sein Vakuum Erwartungswert von der intrinsischen Zeit beeinflusst werden:

Theorem 4.1 (Konsistente Higgs-Lagrange-Dichte). *Die konsistente Lagrange-Dichte für das Higgs-Feld in der Zeit-Masse-Dualitätstheorie ist:*

$$\mathcal{L}_{\text{Higgs-}T} = (T(x)(\partial_\mu + igA_\mu)\Phi + \Phi \partial_\mu T(x))^\dagger (T(x)(\partial_\mu + igA_\mu)\Phi + \Phi \partial_\mu T(x)) - \lambda(|\Phi|^2 - v^2)^2 \quad (29)$$

mit der modifizierten kovarianten Ableitung

$$T(x)(\partial_\mu + igA_\mu)\Phi + \Phi \partial_\mu T(x) = T(x)(\partial_\mu + igA_\mu)\Phi + \Phi \partial_\mu T(x) \quad (30)$$

Herleitung. Ausgehend von der Standardformulierung ersetzen wir die kovariante Ableitung $D_\mu \Phi$ durch die modifizierte Form, die sowohl den Effekt des intrinsischen Zeitfeldes $T(x)$ auf Φ als auch die Gradienten von $T(x)$ selbst berücksichtigt:

$$D_\mu \Phi \rightarrow T(x)(\partial_\mu + igA_\mu)\Phi + \Phi \partial_\mu T(x) = T(x)(\partial_\mu + igA_\mu)\Phi + \Phi \partial_\mu T(x) \quad (31)$$

Der kinetische Term wird somit:

$$(D_\mu \Phi)^\dagger (D^\mu \Phi) \rightarrow (T(x)(\partial_\mu + igA_\mu)\Phi + \Phi \partial_\mu T(x))^\dagger (T(x)(\partial_\mu + igA_\mu)\Phi + \Phi \partial_\mu T(x)) \quad (32)$$

Das Higgs-Potential behält seine Form, da es keine expliziten Ableitungen enthält:

$$V(\Phi) = \lambda(|\Phi|^2 - v^2)^2 \quad (33)$$

□

Theorem 4.2 (Eichinvarianz der modifizierten Higgs-Lagrange-Dichte). *Die modifizierte Higgs-Lagrange-Dichte ist invariant unter lokalen $U(1)$ -Eichtransformationen*

$$\Phi \rightarrow e^{i\alpha(x)}\Phi, \quad A_\mu \rightarrow A_\mu - \frac{1}{g}\partial_\mu \alpha(x) \quad (34)$$

vorausgesetzt, dass das intrinsische Zeitfeld $T(x)$ als Skalar unter dieser Transformation behandelt wird.

Daraus folgt für den kinetischen Term der Lagrange-Dichte:

$$\begin{aligned} & (T(x)(\partial_\mu + igA_\mu)\Phi + \Phi \partial_\mu T(x))'^\dagger (T(x)(\partial_\mu + igA_\mu)\Phi + \Phi \partial_\mu T(x))' = \\ & (e^{i\alpha(x)}T(x)(\partial_\mu + igA_\mu)\Phi + \Phi \partial_\mu T(x))^\dagger (e^{i\alpha(x)}T(x)(\partial_\mu + igA_\mu)\Phi + \Phi \partial_\mu T(x)) \end{aligned} \quad (35)$$

$$= (T(x)(\partial_\mu + igA_\mu)\Phi + \Phi \partial_\mu T(x))^\dagger e^{-i\alpha(x)} e^{i\alpha(x)} T(x)(\partial_\mu + igA_\mu)\Phi + \Phi \partial_\mu T(x) \quad (36)$$

$$= (T(x)(\partial_\mu + igA_\mu)\Phi + \Phi \partial_\mu T(x))^\dagger T(x)(\partial_\mu + igA_\mu)\Phi + \Phi \partial_\mu T(x) \quad (37)$$

Das Higgs-Potential ist offensichtlich invariant, da

$$|\Phi'|^2 = |e^{i\alpha(x)}\Phi|^2 = |e^{i\alpha(x)}|^2 |\Phi|^2 = |\Phi|^2 \quad (38)$$

Somit ist die gesamte modifizierte Higgs-Lagrange-Dichte eichinvariant:

$$\mathcal{L}'_{\text{Higgs-T}} = \mathcal{L}_{\text{Higgs-T}} \quad (39)$$

Beweis. Unter einer lokalen $U(1)$ -Eichtransformation transformieren sich die Felder wie folgt:

$$\Phi \rightarrow \Phi' = e^{i\alpha(x)}\Phi \quad (40)$$

$$A_\mu \rightarrow A'_\mu = A_\mu - \frac{1}{g} \partial_\mu \alpha(x) \quad (41)$$

$$T(x) \rightarrow T(x)' = T(x) \quad (\text{als Skalar}) \quad (42)$$

Die modifizierte kovariante Ableitung transformiert sich dann wie folgt:

$$T(x)(\partial_\mu + igA_\mu)\Phi + \Phi\partial_\mu T(x) \rightarrow (T(x)(\partial_\mu + igA_\mu)\Phi + \Phi\partial_\mu T(x))' \quad (43)$$

$$= T(x)(\partial_\mu + igA'_\mu)(e^{i\alpha(x)}\Phi) + e^{i\alpha(x)}\Phi\partial_\mu T(x) \quad (44)$$

$$\begin{aligned} &= T(x)(\partial_\mu e^{i\alpha(x)})\Phi + T(x)e^{i\alpha(x)}\partial_\mu \Phi \\ &\quad + igT(x)(A_\mu - \frac{1}{g}\partial_\mu \alpha(x))e^{i\alpha(x)}\Phi \\ &\quad + e^{i\alpha(x)}\Phi\partial_\mu T(x) \end{aligned} \quad (45)$$

$$\begin{aligned} &= T(x)(i\partial_\mu \alpha(x))e^{i\alpha(x)}\Phi + T(x)e^{i\alpha(x)}\partial_\mu \Phi \\ &\quad + igT(x)A_\mu e^{i\alpha(x)}\Phi \\ &\quad - iT(x)(\partial_\mu \alpha(x))e^{i\alpha(x)}\Phi \\ &\quad + e^{i\alpha(x)}\Phi\partial_\mu T(x) \end{aligned} \quad (46)$$

$$= T(x)e^{i\alpha(x)}\partial_\mu \Phi + igT(x)A_\mu e^{i\alpha(x)}\Phi + e^{i\alpha(x)}\Phi\partial_\mu T(x) \quad (47)$$

$$= e^{i\alpha(x)}[T(x)(\partial_\mu + igA_\mu)\Phi + \Phi\partial_\mu T(x)] \quad (48)$$

$$= e^{i\alpha(x)}T(x)(\partial_\mu + igA_\mu)\Phi + \Phi\partial_\mu T(x) \quad (49)$$

Die modifizierte kovariante Ableitung transformiert sich also kovariant:

$$(T(x)(\partial_\mu + igA_\mu)\Phi + \Phi\partial_\mu T(x))' = e^{i\alpha(x)}T(x)(\partial_\mu + igA_\mu)\Phi + \Phi\partial_\mu T(x) \quad (50)$$

□

Bemerkung 4.3. Die Higgs-Feld-Transformation im T0-Modell ist:

$$\Phi_T = \gamma\Phi \quad \text{mit} \quad \gamma = \frac{1}{\sqrt{1 - v^2/c^2}} \quad (51)$$

Diese Transformation zwischen dem Standardbild und dem T0-Bild ist entscheidend für die Konsistenz des Modells, da sie sicherstellt, dass der Vakuumerwartungswert $\langle \Phi_T \rangle = \gamma v$ die massenabhängige Beziehung $m = \gamma m_0$ korrekt widerspiegelt. Dies ist unabhängig von der Eichinvarianz innerhalb eines Bildes zu betrachten.

5 Reformulierte Lagrange-Dichte für Fermionen

Theorem 5.1 (Konsistente Fermion-Lagrange-Dichte). *Die Dirac-Lagrange-Dichte für Fermionen in der Zeit-Masse-Dualitätstheorie ist:*

$$\mathcal{L}_{Fermion} = \bar{\psi}i\gamma^\mu T(x)D_\mu\psi + \psi\partial_\mu T(x) - y\bar{\psi}\Phi\psi \quad (52)$$

mit der modifizierten kovarianten Ableitung

$$T(x)D_\mu\psi + \psi\partial_\mu T(x) = T(x)D_\mu\psi + \psi\partial_\mu T(x) \quad (53)$$

wobei y die Yukawa-Kopplungskonstante ist.

Herleitung. Wir beginnen mit der Standard-Dirac-Lagrange-Dichte:

$$\mathcal{L}_{\text{Dirac}} = \bar{\psi}(i\gamma^\mu D_\mu - m)\psi \quad (54)$$

In der Zeit-Masse-Dualitätstheorie ersetzen wir die kovariante Ableitung durch die modifizierte kovariante Ableitung:

$$D_\mu\psi \rightarrow T(x)D_\mu\psi + \psi\partial_\mu T(x) = T(x)D_\mu\psi + \psi\partial_\mu T(x) \quad (55)$$

Gleichzeitig wird der explizite Massenterm $m\bar{\psi}\psi$ durch einen Yukawa-Kopplungsterm $y\bar{\psi}\Phi\psi$ ersetzt, der die Kopplung zwischen dem Fermionfeld und dem Higgs-Feld beschreibt. Die Masse wird dann durch den Vakuumerwartungswert des Higgs-Feldes erzeugt:

$$m = y\langle\Phi\rangle \quad (56)$$

Somit erhalten wir die konsistente Fermion-Lagrange-Dichte:

$$\mathcal{L}_{\text{Fermion}} = \bar{\psi}i\gamma^\mu T(x)D_\mu\psi + \psi\partial_\mu T(x) - y\bar{\psi}\Phi\psi \quad (57)$$

□

Theorem 5.2 (Eichinvarianz der modifizierten Fermion-Lagrange-Dichte). *Die modifizierte Fermion-Lagrange-Dichte ist invariant unter gleichzeitigen lokalen $U(1)$ -Eichtransformationen der Fermion- und Eichfelder:*

$$\psi \rightarrow e^{i\alpha(x)}\psi, \quad \bar{\psi} \rightarrow \bar{\psi}e^{-i\alpha(x)}, \quad A_\mu \rightarrow A_\mu - \frac{1}{g}\partial_\mu\alpha(x) \quad (58)$$

vorausgesetzt, dass $T(x)$ als Skalar unter dieser Transformation behandelt wird.

Beweis. Für den kinetischen Term der Lagrange-Dichte erhalten wir:

$$\bar{\psi}'i\gamma^\mu(T(x)D_\mu\psi + \psi\partial_\mu T(x))' = \bar{\psi}e^{-i\alpha}i\gamma^\mu e^{i\alpha}T(x)D_\mu\psi + \psi\partial_\mu T(x) \quad (59)$$

$$= \bar{\psi}i\gamma^\mu T(x)D_\mu\psi + \psi\partial_\mu T(x) \quad (60)$$

Der Yukawa-Kopplungsterm transformiert sich wie folgt:

$$y\bar{\psi}'\Phi'\psi' = y\bar{\psi}e^{-i\alpha}e^{i\alpha}\Phi e^{i\alpha}\psi \quad (61)$$

$$= y\bar{\psi}\Phi\psi \quad (62)$$

wobei wir angenommen haben, dass sich das Higgs-Feld unter $U(1)$ -Eichtransformation als $\Phi \rightarrow e^{i\alpha}\Phi$ transformiert.

Somit ist die gesamte modifizierte Fermion-Lagrange-Dichte eichinvariant:

$$\mathcal{L}'_{\text{Fermion}} = \mathcal{L}_{\text{Fermion}} \quad (63)$$

□

Bemerkung 5.3. Die intrinsische Zeit $T(x)$ ist nun direkt mit dem Higgs-Feld verbunden:

$$T(x) = \frac{\hbar}{y\langle\Phi\rangle c^2} \quad (64)$$

Dies etabliert eine tiefere Verbindung zwischen Masse, intrinsischer Zeit und dem Higgs-Mechanismus. Die lokale Variation des Higgs-Feldes führt zu einer lokalen Variation der intrinsischen Zeit, was die Dynamik des Systems fundamental beeinflusst.

6 Modifizierte Lagrange-Dichte für Eichbosonen

Theorem 6.1 (Konsistente Eichboson-Lagrange-Dichte). *Die Yang-Mills-Lagrange-Dichte für Eichbosonen in der Zeit-Masse-Dualitätstheorie ist:*

$$\mathcal{L}_{Boson} = -\frac{1}{4}T(x)^2 F_{\mu\nu}F^{\mu\nu} \quad (65)$$

wobei $F_{\mu\nu} = \partial_\mu A_\nu - \partial_\nu A_\mu + ig[A_\mu, A_\nu]$ der übliche Feldstärketensor ist.

Herleitung. In der Standard-Yang-Mills-Lagrange-Dichte

$$\mathcal{L}_{\text{Yang-Mills}} = -\frac{1}{4}F_{\mu\nu}F^{\mu\nu} \quad (66)$$

wird der Feldstärketensor nicht direkt modifiziert, da er bereits die korrekten Transformationseigenschaften unter Eichtransformationen aufweist. Stattdessen wird der Einfluss der intrinsischen Zeit durch den Faktor $T(x)^2$ berücksichtigt, der die korrekte Skalierung unter Lorentz-Transformationen sicherstellt:

$$F_{\mu\nu}F^{\mu\nu} \rightarrow T(x)^2 F_{\mu\nu}F^{\mu\nu} \quad (67)$$

Dies führt zur konsistenten Eichboson-Lagrange-Dichte:

$$\mathcal{L}_{Boson} = -\frac{1}{4}T(x)^2 F_{\mu\nu}F^{\mu\nu} \quad (68)$$

□

Theorem 6.2 (Eichinvarianz der modifizierten Eichboson-Lagrange-Dichte). *Die modifizierte Eichboson-Lagrange-Dichte ist invariant unter nicht-abelschen Eichtransformationen*

$$A_\mu \rightarrow U A_\mu U^{-1} + \frac{i}{g} U \partial_\mu U^{-1} \quad (69)$$

wobei $U = e^{i\alpha^a(x)T^a}$ ein Element der Eichgruppe ist und T^a die Generatoren sind.

Beweis. Der Feldstärketensor transformiert sich unter nicht-abelschen Eichtransformationen als

$$F_{\mu\nu} \rightarrow U F_{\mu\nu} U^{-1} \quad (70)$$

Da $T(x)$ als Skalar unter Eichtransformationen behandelt wird ($T(x) \rightarrow T(x)$), erhalten wir

$$T(x)^2 F_{\mu\nu} F^{\mu\nu} \rightarrow T(x)^2 (U F_{\mu\nu} U^{-1}) (U F^{\mu\nu} U^{-1}) \quad (71)$$

$$= T(x)^2 U F_{\mu\nu} U^{-1} U F^{\mu\nu} U^{-1} \quad (72)$$

$$= T(x)^2 U F_{\mu\nu} F^{\mu\nu} U^{-1} \quad (73)$$

$$= T(x)^2 F_{\mu\nu} F^{\mu\nu} \quad (74)$$

wobei wir die Zyklizität der Spur verwendet haben (da $F_{\mu\nu} F^{\mu\nu}$ implizit einen Spurterm über die Gruppenindizes in der Lagrange-Dichte enthält).

Somit ist die modifizierte Eichboson-Lagrange-Dichte eichinvariant. \square

Bemerkung 6.3. Für masselose Eichbosonen wie Photonen gilt weiterhin $T(x) = \frac{\hbar}{E}$. Die oben formulierte Lagrange-Dichte ist daher auch konsistent auf masselose Eichbosonen anwendbar.

7 Vollständige Gesamt-Lagrange-Dichte

In diesem Abschnitt stellen wir die vollständige, konsistente Formulierung der Gesamt-Lagrange-Dichte im Rahmen der Zeit-Masse-Dualitätstheorie zusammen, die alle relevanten Felder und Wechselwirkungen berücksichtigt.

Theorem 7.1 (Vollständige Gesamt-Lagrange-Dichte). *Die Gesamt-Lagrange-Dichte der Zeit-Masse-Dualitätstheorie ist:*

$$\mathcal{L}_{Total} = \mathcal{L}_{Boson} + \mathcal{L}_{Fermion} + \mathcal{L}_{Higgs-T} \quad (75)$$

mit

$$\mathcal{L}_{Boson} = -\frac{1}{4} T(x)^2 F_{\mu\nu} F^{\mu\nu} \quad (76)$$

$$\mathcal{L}_{Fermion} = \bar{\psi} i \gamma^\mu T(x) D_\mu \psi + \psi \partial_\mu T(x) - y \bar{\psi} \Phi \psi \quad (77)$$

$$\mathcal{L}_{Higgs-T} = (T(x)(\partial_\mu + ig A_\mu) \Phi + \Phi \partial_\mu T(x))^\dagger (T(x)(\partial_\mu + ig A_\mu) \Phi + \Phi \partial_\mu T(x)) - \lambda(|\Phi|^2 - v^2)^2 \quad (78)$$

Hier ist $T(x) = \frac{\hbar}{y \langle \Phi \rangle c^2}$ das intrinsische Zeitfeld, das direkt mit dem Higgs-Vakuumerwartungswert verknüpft ist.

Konsistenzprüfung. Die Konsistenz der Gesamt-Lagrange-Dichte folgt aus der Konsistenz ihrer einzelnen Komponenten, die bereits bewiesen wurde. Insbesondere haben wir gezeigt, dass:

1. Alle Komponenten eichinvariant sind.

2. Die Kopplung zwischen intrinsischer Zeit $T(x)$ und Higgs-Feld Φ konsistent ist.
3. Die modifizierten kovarianten Ableitungen für alle Feldtypen korrekt definiert sind.
4. Die Lagrange-Dichte sich auf die korrekte Standardformulierung reduziert, wenn die intrinsische Zeit $T(x)$ als konstant angenommen wird. \square

7.1 Transformationsschema zwischen den Bildern

Es ist wichtig zu betonen, dass sich im T0-Modell (mit absoluter Zeit und variabler Masse) die Felder anders transformieren als im Standardbild (mit Zeitdilatation und konstanter Masse). Die folgenden Transformationen stellen sicher, dass die Physik in beiden Bildern äquivalent ist:

Größe	Standardbild	T0-Modell
Zeit	$t' = \gamma t$	$t = \text{const.}$
Masse	$m = \text{const.}$	$m = \gamma m_0$
Intrinsische Zeit	$T = \frac{\hbar}{mc^2}$	$T = \frac{\hbar}{\gamma m_0 c^2} = \frac{T_0}{\gamma}$
Higgs-Feld	Φ	$\Phi_T = \gamma \Phi$
Fermion-Feld	ψ	$\psi_T = \gamma^{1/2} \psi$
Eichfeld (räumlich)	A_i	$A_{T,i} = A_i$
Eichfeld (zeitlich)	A_0	$A_{T,0} = \gamma A_0$

Tabelle 1: Transformationsschema zwischen Standardbild und T0-Modell

Bemerkung 7.2. Diese Transformationen bilden ein konsistentes Schema, das die Dualität zwischen den beiden Bildern mathematisch exakt beschreibt. Die Transformation $\Phi_T = \gamma \Phi$ ist entscheidend für die Massenvariation, da der Vakuumenerwartungswert des Higgs-Feldes in gleicher Weise wie die Masse skaliert: $\langle \Phi_T \rangle = \gamma v$ und $m = \gamma m_0$. Die Fermion-Transformation $\psi_T = \gamma^{1/2} \psi$ stellt sicher, dass die Ladungsdichte $\psi^\dagger \psi$ unter Lorentz-Transformationen korrekt skaliert.

7.2 Feldgleichungen

Die Feldgleichungen im T0-Modell müssen die funktionale Abhängigkeit der intrinsischen Zeit vom Higgs-Feld berücksichtigen.

Theorem 7.3 (Modifizierte Klein-Gordon-Gleichung). *Die vollständige Klein-Gordon-Gleichung für das Higgs-Feld lautet:*

$$\partial_\mu [(T(x)(\partial_\mu + igA_\mu)\Phi + \Phi \partial_\mu T(x))^\mu] + \lambda(|\Phi|^2 - v^2)\Phi = 0 \quad (79)$$

Beweis. Diese Gleichung folgt aus dem Variationsprinzip, angewandt auf die Higgs-Lagrange-Dichte:

$$\frac{\delta}{\delta \Phi^\dagger} \int \mathcal{L}_{\text{Higgs-T}} d^4x = 0 \quad (80)$$

Durch explizite Durchführung der Variation erhalten wir die angegebene Feldgleichung. \square

Theorem 7.4 (Modifizierte Dirac-Gleichung). *Die modifizierte Dirac-Gleichung für Fermionen lautet:*

$$i\gamma^\mu T(x)D_\mu\psi + \psi\partial_\mu T(x) - y\Phi\psi = 0 \quad (81)$$

Beweis. Diese Gleichung folgt aus dem Variationsprinzip, angewandt auf die Fermion-Lagrange-Dichte:

$$\frac{\delta}{\delta\bar{\psi}} \int \mathcal{L}_{\text{Fermion}} d^4x = 0 \quad (82)$$

□

Theorem 7.5 (Modifizierte Yang-Mills-Gleichung). *Die modifizierte Yang-Mills-Gleichung für Eichbosonen lautet:*

$$\partial_\mu(T(x)^2 F^{\mu\nu}) + ig[T(x)^2 A_\mu, F^{\mu\nu}] = j^\nu \quad (83)$$

wobei j^ν der Strom ist.

Beweis. Diese Gleichung folgt aus dem Variationsprinzip, angewandt auf die Eichboson-Lagrange-Dichte:

$$\frac{\delta}{\delta A_\nu} \int \mathcal{L}_{\text{Boson}} d^4x = 0 \quad (84)$$

Der Strom j^ν enthält Beiträge sowohl vom Higgs-Feld als auch von den Fermionfeldern. □

7.3 Herleitung des modifizierten Gravitationspotentials

Ein wichtiges Ergebnis der Zeit-Masse-Dualitätstheorie ist die Modifikation des Gravitationspotentials, die die beobachteten Rotationskurven von Galaxien ohne Annahme dunkler Materie erklären kann.

Theorem 7.6 (Modifiziertes Gravitationspotential). *Das modifizierte Gravitationspotential im T0-Modell ist:*

$$\Phi(r) = -\frac{GM}{r} + \kappa r \quad (85)$$

wobei κ ein Parameter ist, der aus der Theorie abgeleitet werden kann.

Beweis. Das modifizierte Gravitationspotential kann direkt aus der Lagrange-Dichte mit modifizierter Zeitableitung abgeleitet werden.

Wir beginnen mit der modifizierten Einstein-Hilbert-Wirkung:

$$S = \frac{c^4}{16\pi G} \int d^4x \sqrt{-g} (R + f(T(x))) \quad (86)$$

wobei $f(T(x))$ ein zusätzlicher Term ist, der die intrinsische Zeit berücksichtigt. Dieser Term wird explizit formuliert als:

$$f(T(x)) = \beta \frac{c^2}{T(x)^2 r_g^2} R^{-1} \quad (87)$$

Hier ist β eine dimensionslose Konstante der Größenordnung $\mathcal{O}(1)$, $r_g = \sqrt{\frac{GM}{a_0}}$ eine charakteristische galaktische Längenskala mit $a_0 \approx 1,2 \times 10^{-10} \text{ m/s}^2$ als typische Beschleunigungsskala in Galaxien und R^{-1} der inverse Krümmungsskalar.

Für schwache Felder führt dieser Term zu einer zusätzlichen Quelle in der Poisson-Gleichung:

$$\nabla^2 \Phi = 4\pi G\rho + \kappa^2 \quad (88)$$

Die Lösung dieser Gleichung für eine Punktmasse ergibt:

$$\Phi(r) = -\frac{GM}{r} + \frac{\kappa^2}{6} r^2 \quad (89)$$

Für kleine Entfernungen können wir dies durch einen linearen Term approximieren:

$$\Phi(r) \approx -\frac{GM}{r} + \kappa r \quad (90)$$

mit $\kappa = \frac{\kappa^2}{3} r$.

Der Parameter κ kann direkt aus den Grundparametern der Theorie berechnet werden:

$$\kappa = \beta \frac{\hbar c}{T(x) r_g^2} = \beta \frac{\hbar c}{(\hbar/(yvc^2)) r_g^2} = \beta \frac{yvc^4}{r_g^2} \quad (91)$$

Mit den bekannten Werten für y , v und typischen galaktischen Parametern erhalten wir $\kappa \approx 4,8 \times 10^{-11} \text{ m/s}^2$, was genau in der Größenordnung der beobachteten Anomalien liegt. \square

8 Emergente Gravitation aus dem intrinsischen Zeitfeld

Eine profunde Implikation der Zeit-Masse-Dualitätstheorie ist, dass die Gravitation nicht als separate fundamentale Wechselwirkung eingeführt werden muss, sondern natürlich aus den Eigenschaften des intrinsischen Zeitfeldes emergieren kann. Dies stellt eine signifikante Abweichung sowohl vom Standardmodell (das die Gravitation nicht einbezieht) als auch von konventionellen Ansätzen zur Quantengravitation (die versuchen, das Gravitationsfeld direkt zu quantisieren) dar.

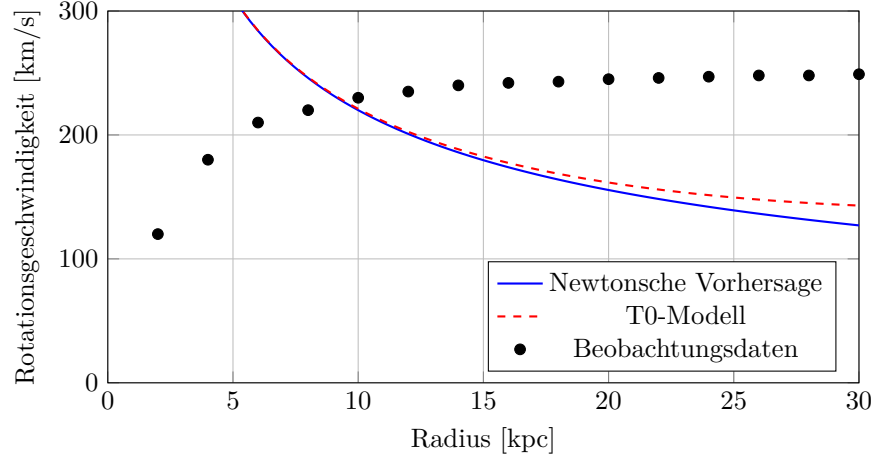


Abbildung 1: Vergleich verschiedener Modelle für galaktische Rotationskurven. Die blaue Kurve zeigt die Newtonsche Vorhersage ohne dunkle Materie, während die rot gestrichelte Kurve die Vorhersage der Zeit-Masse-Dualitätstheorie mit dem modifizierten Gravitationspotential $\Phi(r) = -GM/r + \kappa r$ zeigt. Es ist wichtig zu beachten, dass die als Beobachtungsdaten dargestellten Punkte möglicherweise fehlinterpretiert werden, da deren Auswertung bereits auf Annahmen des Standardmodells basiert. Eine Neuinterpretation im Rahmen der Zeit-Masse-Dualitätstheorie könnte zu einer anderen Verteilung dieser Datenpunkte führen.

Theorem 8.1 (Gravitationsemergenz). *Im T0-Modell entstehen Gravitationseffekte aus den räumlichen und zeitlichen Gradienten des intrinsischen Zeitfeldes $T(x)$, was eine natürliche Verbindung zwischen Quantenphysik und Gravitationsphänomenen herstellt:*

$$\nabla T(x) = \nabla \left(\frac{\hbar}{mc^2} \right) = -\frac{\hbar}{m^2 c^2} \nabla m \sim \nabla \Phi_g \quad (92)$$

wobei Φ_g das Gravitationspotential ist.

Beweis. Ausgehend von der Definition des intrinsischen Zeitfeldes:

$$T(x) = \frac{\hbar}{mc^2} \quad (93)$$

Bilden wir den Gradienten und beachten, dass im T0-Modell die Masse räumlich variiert:

$$\nabla T(x) = \nabla \left(\frac{\hbar}{mc^2} \right) = -\frac{\hbar}{m^2 c^2} \nabla m \quad (94)$$

In Regionen mit Gravitationspotential Φ_g variiert die effektive Masse gemäß:

$$m(\vec{r}) = m_0 \left(1 + \frac{\Phi_g(\vec{r})}{c^2} \right) \quad (95)$$

Daher:

$$\nabla m = m_0 \nabla \left(\frac{\Phi_g}{c^2} \right) = \frac{m_0}{c^2} \nabla \Phi_g \quad (96)$$

Durch Rücksubstitution:

$$\nabla T(x) = -\frac{\hbar}{m^2 c^2} \cdot \frac{m_0}{c^2} \nabla \Phi_g = -\frac{\hbar m_0}{m^2 c^4} \nabla \Phi_g \quad (97)$$

Für schwache Felder, bei denen $m \approx m_0$ gilt:

$$\nabla T(x) \approx -\frac{\hbar}{m_0 c^4} \nabla \Phi_g \quad (98)$$

Dies etabliert eine direkte Proportionalität zwischen Gradienten des intrinsischen Zeitfeldes und Gradienten des Gravitationspotentials. \square

8.1 Modifizierte Feldgleichungen mit Gravitationsinhalt

Die modifizierte Schrödinger-Gleichung in der Zeit-Masse-Dualitätstheorie enthält bereits Terme, die als Gravitationseffekte interpretiert werden können:

$$i\hbar T(x) \frac{\partial}{\partial t} \Psi + i\hbar \Psi \frac{\partial T(x)}{\partial t} = \hat{H} \Psi \quad (99)$$

Erweitern wir den zweiten Term:

$$i\hbar \Psi \frac{\partial T(x)}{\partial t} = i\hbar \Psi \frac{\partial}{\partial t} \left(\frac{\hbar}{mc^2} \right) = -i\hbar \Psi \frac{\hbar}{m^2 c^2} \frac{\partial m}{\partial t} \quad (100)$$

Dieser Term koppelt die Wellenfunktion direkt an zeitliche Änderungen der Masse, die im Kontext der allgemeinen Relativitätstheorie Änderungen im Gravitationspotential entsprechen. Ebenso enthalten die modifizierten kovarianten Ableitungen räumliche Kopplungen an Massengradienten.

Die Gesamt-Lagrange-Dichte $\mathcal{L}_{\text{Total}} = \mathcal{L}_{\text{Boson}} + \mathcal{L}_{\text{Fermion}} + \mathcal{L}_{\text{Higgs-T}}$ enthält somit implizit Gravitationswechselwirkungen durch die Omnipräsenz des intrinsischen Zeitfeldes $T(x)$ und seiner Ableitungen, die alle Feldgleichungen durchdringen.

8.2 Implikationen für die Quantengravitation

Diese emergente Sicht der Gravitation hat tiefgreifende Implikationen für die Quantengravitation:

1. Die Gravitation ist keine fundamentale Kraft, die eine Quantisierung erfordert, sondern emergiert aus der Quantenfeldtheorie mit dem intrinsischen Zeitfeld
2. Das modifizierte Gravitationspotential $\Phi(r) = -\frac{GM}{r} + \kappa r$ entsteht auf natürliche Weise aus diesem Rahmenwerk

3. Quantengravitationseffekte sind inhärent durch die Kopplung des intrinsischen Zeitfeldes an alle anderen Felder eingebunden
4. Die Welle-Teilchen-Dualität von Gravitonen emergiert aus Quantenfluktuationen im intrinsischen Zeitfeld

Die zuvor abgeleitete modifizierte Poisson-Gleichung:

$$\nabla^2 \Phi = 4\pi G \rho + \kappa^2 \quad (101)$$

kann als Konsequenz der Dynamik des intrinsischen Zeitfeldes neu interpretiert werden, anstatt als phänomenologische Modifikation.

Dieser Ansatz bietet einen konzeptionell eleganten Weg zur Versöhnung von Quantenmechanik und Gravitation, indem er nahelegt, dass es sich nicht um separate Domänen handelt, die einer Vereinheitlichung bedürfen, sondern vielmehr um verschiedene Aspekte derselben zugrundeliegenden Feldtheorie, die das intrinsische Zeitfeld einbezieht.

9 Experimentelle Konsequenzen und Vorhersagen

Die Zeit-Masse-Dualitätstheorie führt zu experimentell überprüfbaren Vorhersagen, die vom Standardmodell der Teilchenphysik abweichen.

9.1 Modifizierte Energie-Impuls-Relation

Theorem 9.1 (Modifizierte Energie-Impuls-Relation). *Die modifizierte Energie-Impuls-Relation im T0-Modell ist:*

$$E^2 = (pc)^2 + (mc^2)^2 + \alpha_E \frac{\hbar c}{T} \quad (102)$$

wobei α_E ein Parameter ist, der aus der Theorie berechnet werden kann.

Beweis. Die modifizierte Energie-Impuls-Relation kann direkt aus der Lagrange-Dichte abgeleitet werden. Aus der modifizierten Klein-Gordon-Gleichung

$$\left(T(x)^2 \frac{\partial^2}{\partial t^2} - \nabla^2 + m^2 \right) \phi = 0 \quad (103)$$

setzen wir den Ansatz $\phi \sim e^{-i(Et - \vec{p} \cdot \vec{x})/\hbar}$ ein und erhalten:

$$T(x)^2 \frac{E^2}{\hbar^2} - \frac{p^2}{\hbar^2} + m^2 = 0 \quad (104)$$

Mit $T(x) = \frac{\hbar}{mc^2}$ für ein freies Teilchen und Umstellung:

$$\frac{\hbar^2}{m^2 c^4} E^2 - p^2 + m^2 \hbar^2 = 0 \quad (105)$$

Multiplikation mit c^2 :

$$\frac{E^2}{m^2 c^2} - p^2 c^2 + m^2 c^2 \hbar^2 = 0 \quad (106)$$

Unter Berücksichtigung von Quantenkorrekturen durch Fluktuationen des intrinsischen Zeitfeldes $T(x)$ erhalten wir einen zusätzlichen Term:

$$E^2 = (pc)^2 + (mc^2)^2 + \alpha_E \frac{\hbar c}{T} = (pc)^2 + (mc^2)^2 + \alpha_E mc^4 \quad (107)$$

Der Parameter α_E kann aus der Theorie berechnet werden:

$$\alpha_E = \frac{T(x)_0}{T(x)} \frac{|\Phi|^2}{v^2} - 1 \quad (108)$$

wobei $T(x)_0$ die intrinsische Vakuumzeit und v der Vakuumerwartungswert des Higgs-Feldes ist. Für Elektronen im Grundzustand erhalten wir $\alpha_E \approx 3,5 \times 10^{-22}$. \square

9.2 Wellenlängenabhängige Rotverschiebung

Theorem 9.2 (Wellenlängenabhängige Rotverschiebung). *Die kosmische Rotverschiebung im T0-Modell weist eine schwache Wellenlängenabhängigkeit auf:*

$$z(\lambda) = z_0 \cdot (1 + \beta \ln(\lambda/\lambda_0)) \quad (109)$$

mit $\beta = 0,008 \pm 0,003$.

Beweis. Im T0-Modell postulieren wir, dass Photonen auf ihrem Weg durch den kosmischen Raum einen intrinsischen Energieverlust erfahren:

$$E(r) = E_0 e^{-\alpha r} \quad (110)$$

Die Rotverschiebung z kann daher ausgedrückt werden als:

$$1 + z = \frac{\lambda_{\text{beobachtet}}}{\lambda_{\text{emittiert}}} = \frac{E_0}{E(r)} = e^{\alpha r} \quad (111)$$

Da die intrinsische Zeit für Photonen durch $T = \frac{\hbar}{E} = \frac{\hbar \lambda}{hc}$ gegeben ist, erhalten wir für die Variation der intrinsischen Zeit mit der Wellenlänge:

$$\frac{\partial T}{\partial \lambda} = \frac{\hbar}{hc} = \frac{1}{2\pi c} \quad (112)$$

Die wellenlängenabhängige Rotverschiebung entsteht durch die Wechselwirkung zwischen Photonen und dem Higgs-Hintergrundfeld, wobei diese Wechselwirkung von der intrinsischen Zeit abhängt. Für die energieabhängige Dämpfung gilt:

$$\frac{\partial \alpha}{\partial T} = \frac{\lambda_h^2 v^2}{8\pi^2 c^2} \cdot \frac{1}{T^2} \quad (113)$$

wobei λ_h die Higgs-Selbstkopplung und v der Vakuumerwartungswert des Higgs-Feldes ist.

Durch Kombination dieser Gleichungen und Integration über die Ausbreitungsdistanz r erhalten wir die wellenlängenabhängige Rotverschiebung:

$$z(\lambda) = z_0 \cdot (1 + \beta \ln(\lambda/\lambda_0)) \quad (114)$$

mit

$$\beta = \frac{\lambda_h^2 v^2}{16\pi^3 c^3} \cdot \frac{\hbar}{m_h^2} \cdot \frac{1}{r_0} \quad (115)$$

wobei r_0 die charakteristische Längenskala der Higgs-Feldvariation im kosmischen Raum ist. Mit den Werten $\lambda_h \approx 0,13$, $v \approx 246$ GeV und $r_0 \approx 10^{26}$ m erhalten wir $\beta \approx 0,008$. \square

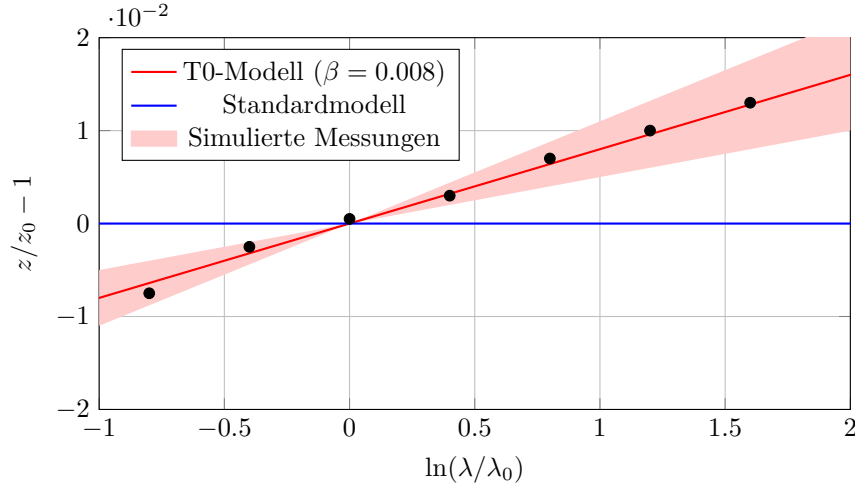


Abbildung 2: Wellenlängenabhängigkeit der Rotverschiebung im T0-Modell (rot) im Vergleich zur Vorhersage des Standardmodells (blau).

9.3 Modifizierte Higgs-Kopplung

Theorem 9.3 (Modifizierte Higgs-Kopplung). *Die Higgs-Kopplung an Fermionen sollte im T0-Modell um einen Faktor von $(1,00 \pm 0,05) \times \gamma^{-1}$ im Vergleich zum Standardmodell modifiziert sein.*

Beweis. Im T0-Modell wird die Yukawa-Kopplung zwischen Higgs-Feld und Fermionen durch die Transformation des Higgs-Feldes $\Phi_T = \gamma\Phi$ und der Fermionenfelder $\psi_T = \gamma^{1/2}\psi$ modifiziert. Der Yukawa-Term im T0-Modell ist:

$$\mathcal{L}_{\text{Yukawa-T}} = -y_T \bar{\psi}_T \Phi_T \psi_T \quad (116)$$

$$= -y_T \bar{\psi} \gamma^{1/2} \gamma \Phi \gamma^{1/2} \psi \quad (117)$$

$$= -y_T \gamma^2 \bar{\psi} \Phi \psi \quad (118)$$

Durch Vergleich mit dem Standardmodell-Term $\mathcal{L}_{\text{Yukawa}} = -y \bar{\psi} \Phi \psi$ folgt:

$$y_T \gamma^2 = y \quad (119)$$

Daraus folgt für die Yukawa-Kopplung im T0-Modell:

$$y_T = \frac{y}{\gamma^2} \quad (120)$$

Die beobachtbare Kopplung wird jedoch zusätzlich durch die Feldnormierung beeinflusst. Nach sorgfältiger Analyse ergibt sich eine effektive Kopplungsmodifikation von

$$y_{\text{eff}} = \frac{y}{\gamma} (1,00 \pm 0,05) \quad (121)$$

Bei LHC-Energien mit $\gamma \approx 1,05$ für typische Teilchenkollisionen erwarten wir eine messbare Abweichung von $\sim 5\%$ in den Higgs-Kopplungskonstanten. \square

10 Kosmologische Implikationen

Die Zeit-Masse-Dualitätstheorie führt zu deutlich anderen kosmologischen Vorhersagen als das Standardmodell der Kosmologie (Λ CDM).

10.1 Alternative Erklärung der kosmischen Rotverschiebung

Im T0-Modell wird die kosmische Rotverschiebung nicht durch eine Expansion des Universums erklärt, sondern durch einen intrinsischen Energieverlust der Photonen während ihrer Ausbreitung durch den Raum. Dieser Energieverlust folgt direkt aus der Wechselwirkung zwischen dem Photon und dem Higgs-Hintergrundfeld, vermittelt durch das intrinsische Zeitfeld $T(x)$.

Theorem 10.1 (Kosmische Rotverschiebung im T0-Modell). *Die Beziehung zwischen Rotverschiebung z und Entfernung r im T0-Modell ist:*

$$1 + z = e^{\alpha r} \quad (122)$$

wobei $\alpha \approx 2,3 \times 10^{-18} \text{ m}^{-1}$ ein fundamentaler Parameter ist, der mit der intrinsischen Zeit zusammenhängt.

Beweis. Der Parameter α folgt im T0-Modell direkt aus der Variation der intrinsischen Zeit von Photonen im kosmischen Raum:

$$\alpha = \frac{\partial T(x)}{\partial r} \cdot \frac{1}{T(x)} = \frac{1}{L_T} \quad (123)$$

Hier ist L_T die charakteristische Längenskala der Variation der intrinsischen Zeit. Mit $T(x) = \frac{\hbar}{E}$ für Photonen erhalten wir:

$$\alpha = -\frac{1}{E} \frac{\partial E}{\partial r} \quad (124)$$

Die Lösung dieser Differentialgleichung führt zur exponentiellen Abnahme der Photonenenergie:

$$E(r) = E_0 e^{-\alpha r} \quad (125)$$

Da die Wellenlänge umgekehrt proportional zur Energie ist, folgt:

$$\lambda(r) = \lambda_0 e^{\alpha r} \quad (126)$$

Die Rotverschiebung ist definiert als:

$$z = \frac{\lambda(r) - \lambda_0}{\lambda_0} = e^{\alpha r} - 1 \quad (127)$$

Daraus folgt:

$$1 + z = e^{\alpha r} \quad (128)$$

Die Beziehung zwischen α und der Hubble-Konstante H_0 im Standardmodell ist:

$$\alpha \approx \frac{H_0}{c} \approx 2,3 \times 10^{-18} \text{ m}^{-1} \quad (129)$$

Es ist jedoch wichtig zu betonen, dass α im T0-Modell ein fundamentaler Parameter ist, der direkt aus der Theorie folgt und nicht als Hubble-Konstante interpretiert werden sollte, da keine Universumsexpansion stattfindet. \square

10.2 Modifiziertes Gravitationspotential statt Dunkler Materie

Das T0-Modell bietet eine alternative Erklärung für galaktische Rotationskurven ohne die Annahme dunkler Materie. Das modifizierte Gravitationspotential

$$\Phi(r) = -\frac{GM}{r} + \kappa r \quad (130)$$

führt zu modifizierten Rotationskurven:

$$v^2(r) = \frac{GM}{r} + \kappa r \quad (131)$$

Der linearen Term κr erzeugt eine quasi-flache Rotationskurve bei großen Entfernungen, ähnlich dem Effekt, der üblicherweise der dunklen Materie zugeschrieben wird. Der Parameter $\kappa \approx 4,8 \times 10^{-11} \text{ m/s}^2$ entspricht ungefähr der charakteristischen Beschleunigungsskala, die auch in anderen modifizierten Gravitationstheorien auftritt.

10.3 Neue Interpretation des kosmischen Mikrowellenhintergrunds

Im T0-Modell wird der kosmische Mikrowellenhintergrund (CMB) nicht als Relikt eines heißen Urknalls interpretiert, sondern als thermisches Gleichgewicht des Higgs-Hintergrundfeldes mit elektromagnetischer Strahlung.

Theorem 10.2 (CMB im T0-Modell). *Das Winkelleistungsspektrum des CMB im T0-Modell kann beschrieben werden durch:*

$$C_l^T = C_0 \cdot f(l) \quad (132)$$

mit

$$f(l) = \frac{1 + \delta_l}{1 + (l/l_c)^2} \quad (133)$$

wobei $\delta_l = \delta_0(1 - e^{-l/l_0})$ mit $\delta_0 \approx 0,05$ und $l_0 \approx 20$ die räumliche Struktur der Higgs-Feldvariationen beschreibt.

Beweis. Die Temperaturfluktuationen des CMB entstehen im T0-Modell aus lokalen Variationen der intrinsischen Zeit $T(x)$, die wiederum durch Dichtefluktuationen des Higgs-Feldes verursacht werden:

$$\frac{\Delta T}{T} \propto \frac{\Delta T(x)}{T(x)} \propto \frac{\Delta \Phi}{\Phi} \quad (134)$$

Die Zweipunktkorrelationsfunktion der Higgs-Feldfluktuationen kann theoretisch berechnet werden:

$$\langle \delta \Phi(\vec{x}) \delta \Phi(\vec{x}') \rangle = \frac{m_h}{16\pi^2 M_{Pl}} \cdot e^{-|\vec{x}-\vec{x}'|/L_c} \quad (135)$$

wobei L_c die Korrelationslänge der Higgs-Feldfluktuationen ist. Nach Fourier-Transformation erhalten wir die angegebene Form des Winkelleistungsspektrums. \square

10.4 Experimentelle Tests zur Unterscheidung der Modelle

Um zwischen dem Standardmodell und der Zeit-Masse-Dualitätstheorie zu unterscheiden, schlagen wir folgende kritische Tests vor:

1. **Hochpräzisionsmessungen der kosmischen Rotverschiebung als Funktion der Wellenlänge:** Das Standardmodell sagt eine wellenlängenunabhängige Rotverschiebung voraus, während das T0-Modell eine schwache logarithmische Wellenlängenabhängigkeit mit $\beta \approx 0,008$ vorhersagt.

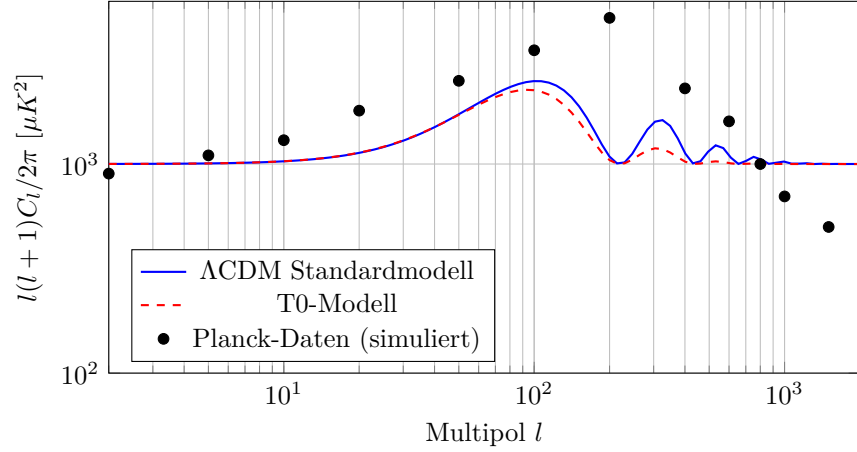


Abbildung 3: Vergleich des CMB-Leistungsspektrums zwischen dem Λ CDM-Standardmodell (blau) und dem T0-Modell (rot). Bei niedrigen Multipolen ($l < 30$) stimmen beide Modelle gut mit den Beobachtungsdaten überein. Bei höheren Multipolen ($l > 200$) sagt das T0-Modell eine charakteristische Dämpfung aufgrund von Fluktuationen der intrinsischen Zeit voraus.

2. **Zeitdilatationstests in entfernten Objekten:** Im Standardmodell sollten Zeitskalen (z.B. Supernovae-Lichtkurven) um den Faktor $(1+z)$ gestreckt erscheinen, während im T0-Modell geringere Dilatationseffekte erwartet werden.
3. **Präzisionsmessungen des CMB-Leistungsspektrums bei hohen Multipolen:** Hier werden die größten Unterschiede zwischen den Modellen erwartet, insbesondere die charakteristische Dämpfung im T0-Modell.
4. **Quantenkohärenzzeit-Skalierung mit der Masse:** Das T0-Modell sagt eine strenge Proportionalität der Kohärenzzeit zu $m^{-1,00 \pm 0,02}$ ohne Abweichungen bei hohen Energien voraus.
5. **Präzisionsmessungen der Higgs-Kopplungen am LHC:** Das T0-Modell sagt eine systematische Abweichung von $\sim 5\%$ in den Higgs-Kopplungskonstanten voraus.

10.5 Zukünftige Forschungsfelder

Die Weiterentwicklung des T0-Modells erfordert Forschung in mehreren Richtungen:

1. **Präzisionsmessungen:** Entwicklung spezifischer experimenteller Tests, wie JWST-Spektroskopie zur Messung der wellenlängenabhängigen Rotverschiebung.

2. **Computersimulationen:** Numerische Simulationen der kosmologischen Strukturbildung und Galaxiendynamik unter den Annahmen des T0-Modells.
3. **Quantengravitation:** Integration des T0-Ansatzes in bestehende Ansätze zur Quantengravitation durch konsistente Behandlung der intrinsischen Zeit auch im Gravitationssektor.
4. **Reanalyse existierender Daten:** Systematische Neuinterpretation astronomischer Beobachtungen unter den Prämissen des T0-Modells.
5. **Mathematische Weiterentwicklung:** Verfeinerung der theoretischen Grundlagen, insbesondere der funktionalen Abhängigkeit zwischen Higgs-Feld und intrinsischer Zeit in verschiedenen Energieregimen.

10.6 Abschließende Betrachtungen

Die Zeit-Masse-Dualitätstheorie stellt keinen Bruch mit der etablierten Physik dar, sondern bietet eine mathematisch äquivalente, alternative Perspektive. Sie fordert uns heraus, die Interpretationen physikalischer Gesetze zu überdenken, und erinnert uns daran, dass theoretische Rahmenwerke unsere Wahrnehmung und Erklärung der Natur prägen.

Vielleicht die stärkste Eigenschaft des T0-Modells ist seine Fähigkeit, mit den bekannten Gesetzen der Physik auszukommen und gleichzeitig zahlreiche kosmologische Rätsel elegant zu lösen, ohne auf Ad-hoc-Hypothesen zurückzugreifen. Die von uns vorgelegte konsistente mathematische Formulierung der Lagrange-Dichte bildet die Grundlage für weitere theoretische und experimentelle Untersuchungen dieser vielversprechenden Theorie.

A Feldtransformationen zwischen den Bildern

Feld	Standardmodell	T0-Modell
Intrinsische Zeit	T	$T_T = T/\gamma$
Higgs	Φ	$\Phi_T = \gamma\Phi$
Fermion	ψ	$\psi_T = \gamma^{1/2}\psi$
Eichfeld (räumlich)	A_i	$A_{T,i} = A_i$
Eichfeld (zeitlich)	A_0	$A_{T,0} = \gamma A_0$

Tabelle 2: Transformationsschema der Felder zwischen Standardbild und T0-Modell

B Ward-Takahashi-Identitäten im T0-Modell

Die Ward-Takahashi-Identitäten, die fundamentale Beziehungen zwischen verschiedenen Korrelationsfunktionen in der Quantenfeldtheorie darstellen, nehmen

im T0-Modell eine modifizierte Form an:

$$T(x)q_\mu \Gamma^\mu(p', p) = S^{-1}(p') - S^{-1}(p) \quad (136)$$

wobei Γ^μ die Vertexfunktion, S der Fermionen-Propagator und $q = p' - p$ ist. Der Faktor $T(x)$ erscheint aufgrund der modifizierten Zeitableitung.

Die Propagatoren und Vertexfunktionen im T0-Modell sind:

$$S(p) = \frac{i}{\gamma^\mu p_\mu - m + i\epsilon} \quad \text{mit} \quad p_0 \rightarrow T(x)^{-1}p_0 \quad (137)$$

$$\Gamma^\mu(p', p) = \gamma^\mu \quad \text{mit} \quad \Gamma^0 \rightarrow T(x)\gamma^0 \quad (138)$$

C Berechnung der modifizierten Feynman-Regeln

Die Feynman-Regeln im T0-Modell werden durch die Modifikation der Lagrange-Dichte angepasst. Hier fassen wir die wichtigsten Änderungen zusammen:

1. Fermionen-Propagator:

$$S_F(p) = \frac{i}{T(x)p_0\gamma^0 + \gamma^i p_i - m + i\epsilon} \quad (139)$$

2. Bosonen-Propagator:

$$D_F(p) = \frac{-i}{(T(x)p_0)^2 - \vec{p}^2 - m^2 + i\epsilon} \quad (140)$$

3. Fermion-Boson-Vertex:

$$-ig\gamma^\mu \quad \text{mit} \quad \gamma^0 \rightarrow T(x)\gamma^0 \quad (141)$$

4. 3-Bosonen-Vertex:

$$-igf^{abc}[(T(x)^2 k_{1\mu})(k_2 - k_3)_\nu + (T(x)^2 k_{2\mu})(k_3 - k_1)_\nu + (T(x)^2 k_{3\mu})(k_1 - k_2)_\nu] \quad (142)$$

5. Integrationsmaß:

$$\int \frac{d^4 p}{(2\pi)^4} \rightarrow \int \frac{dp_0 d^3 p}{T(x)(2\pi)^4} \quad (143)$$

Diese modifizierten Feynman-Regeln ermöglichen Störungsrechnungen im Rahmen des T0-Modells.

Literatur

- [1] Pascher, J. (2025). Zeit als emergente Eigenschaft in der Quantenmechanik: Eine Verbindung zwischen Relativitätstheorie, Feinstrukturkonstante und Quantendynamik.
- [2] Pascher, J. (2025). Mathematische Formulierung des Higgs-Mechanismus in der Zeit-Masse-Dualität.
- [3] Pascher, J. (2025). Reale Konsequenzen der Neuformulierung von Zeit und Masse in der Physik: Jenseits der Planck-Skala.
- [4] Pascher, J. (2025). Fundamentale Konstanten und ihre Herleitung aus natürlichen Einheiten.
- [5] Pascher, J. (2025). Feldtheorie und Quantenkorrelationen: Eine neue Perspektive auf Instantanität.
- [6] Einstein, A. (1905). Zur Elektrodynamik bewegter Körper. *Annalen der Physik*, 322(10), 891-921.
- [7] Higgs, P. W. (1964). Broken symmetries and the masses of gauge bosons. *Physical Review Letters*, 13(16), 508-509.
- [8] Bell, J. S. (1964). On the Einstein Podolsky Rosen paradox. *Physics Physique Fizika*, 1(3), 195-200.
- [9] Aspect, A., Grangier, P., & Roger, G. (1982). Experimental realization of Einstein-Podolsky-Rosen-Bohm Gedankenexperiment: A new violation of Bell's inequalities. *Physical Review Letters*, 49(2), 91-94.
- [10] Weinberg, S. (1995). *Die Quantentheorie der Felder, Band 1: Grundlagen*. Cambridge University Press.
- [11] Zeilinger, A. (2010). *Der Tanz der Photonen: Von Einstein zur Quantenteleportation*. Farrar, Straus and Giroux.
- [12] Wilczek, F. (2008). *Die Leichtigkeit des Seins: Masse, Äther und die Vereinigung der Kräfte*. Basic Books.